

4段数7次陰的Runge-Kutta法の 特性について

6B-5 田中正次 山下茂 福井康人 渡辺博
山梨大学

1. まえがき 著者たちはこれまで2段数及び3段数陰的Runge-Kutta法の打ち切り誤差特性及く安定特性について研究し、可能や有効なすべての公式の特性が一見して直観的に把握できることを図を作成し、その図を利用して既知公式の評価と改良・新公式の導出を行った。この研究はその姉妹編で、同様な目的と意図に基づいてなされたものである。

2. 4段数陰的Runge-Kutta法 初期値問題 $y' = f(x, y)$, $y(x_0) = y_0$ (2.1) における $f(x, y)$ は十分滑らかで、中率を限りの導関数及び偏導関数が存在するものとする。 $x = x_n$ における解 y_n が求まるまで、 $x = x_{n+1}$ における数値解 y_{n+1} を、次に示す (2.2), (2.3) によって求めた方法を4段数陰的Runge-Kutta法という。 $y_{n+1} = y_n + \sum_{i=1}^4 w_i k_i$ ($i=0, 1, 2, \dots$) (2.2)

$k_i = h n f(x_n + a_{i1} h, y_n + \sum_{j=1}^4 b_{ij} k_j)$ $h = x_{n+1} - x_n$ (2.3) 一般に、5段数陰的Runge-Kutta法の達成可能な次数は25であるが、ここでは、解系の自由パラメータの選択方により、打ち切り誤差特性や安定特性が多様な変化を示す、7次法について研究する。

3. 次数条件式とその解 4段数7次陰的Runge-Kutta法の次数条件式は、Butcherの条件を用いて一次従属方程式を降くと、24個のパラメータ 12個の実数と 22個の方程式系に帰着される。我々はその次数条件式群を、 a_{ij}, b_{ij} を自由パラメータとして解いた。

4. 局所打ち切り誤差とその大小判定 4段数7次陰的Runge-Kutta法の $x = x_{n+1}$ における数値解 y_{n+1} の局所打ち切り誤差を T_{n+1} とするとき、 $T_{n+1} = t_{n+1} h^n + O(h^{n+1})$ $t_n = \sum_{j=1}^{115} a_{j1} g_j(x_n, y_n)$

(4.1) と書くことができる。ここで a_{j1} は公式の係数パラメータの j の関数、 $g_j(x, y)$ (2.3) 分方程式 (2.1) の右辺の関数系に依存して定まる関数系である。ここで 4段数7次陰的Runge-Kutta法の打ち切り誤差の大小を判定するためには、次式によつて定義される公式のパラメータの j の関数 A_{j2} 及び A_{j3} を使用する。 $A_{j2} = \sum_{i=1}^{115} |a_{ij}|$ (4.2) $A_{j3} = \sum_{i=1}^{115} a_{ij}^2$ (4.3) A_{j2} 及び A_{j3} を4段数7次陰的Runge-Kutta法 (2.2), (2.3) の打ち切り精度判定基準といふ。これら2つの判定基準の有効性は、多くの実例によつて確かめられている。特に本例の場合には、 $t_1 = \sum_{i,j=1}^4 w_i a_{ij} b_{ij} a_j^2 - \frac{1}{8} t_2$ (4.4) $t_2 = \sum_{i=1}^4 w_i a_i^2 - \frac{1}{8}$ (4.5) とかくと、適当に選ばれた正の定数 $\alpha, \beta, \gamma, \delta$ に対して、 $A_{j2} = \alpha |t_1| + \beta |t_2|$ (4.6) $A_{j3} = \sigma t_1^2 + \delta t_2^2$ (4.7) と表すことができる。打ち切り精度判定基準の計算は極めて簡単であり、またその最適化も容易である。

5. 安定性とその評価^{3), 4)} テスト方程式 $y' = \lambda y$ (λ は複素定数) (5.1) に4段数7次陰的Runge-Kutta法 (2.2), (2.3) を適用すると、 $y_{n+1} = R(h\lambda, \rho_0) y_n$ (5.2) が得られる。ここで $\rho_0 = b_{11} + b_{22} + b_{33} + b_{44}$ (5.3) で、安定関数 $R(h\lambda, \rho_0)$ は ρ_0 の関数である。したがって、 ρ_0 を固定すると絶対安定領域、絶対安定区間などのいわゆる古典的な安定性は一意に定まる。消散方程式、AN安定、BN安定、B安定、代数的安定などとの新しい安定性の諸概念は既知であるとしよう。古典的な安定性の優劣の評価は、有効絶対安定領域の面積、絶対安定区間の長さ、絶対安定領域の包含関係などによつて行う。新しい安定性の概念の中では代数的安定が最も

On Characteristics of Seventh Order Implicit Runge-Kutta Methods with Four Stages
Masatoshi Tanaka, Shigeru Yamashita, Yasuhito Fukui, Hiroshi Watanabe
Yamanashi University

強く、代数的安定であれば B 安定で、ある（また A 安定でもある）。

6. 安定性と打ち切り精度の関係（特性図） Fig. 1 は、自由パラメータの a_{44} と b_{444} を両軸に $a_{44} \rightarrow -1, 4$ 段階 7 次階の Runge-Kutta 法 (2.2), (2.3) の打ち切り誤差特性（打ち切り精度判定基準 A_{73} の等高線図により示す）と安定特性（絶対安定領域の面積が最大と最小の曲線と、最も強い安定である代数的安定（この解算においては A 安定と等価）の範囲を図示するところと示す）が、自由パラメータが実用的である範囲で変動するにつれてどのように変動するかを図示したものである。Fig. 1 は、既知公式的評価や新公式的導出に関する

極めて示唆に富んでいたが、紙面の都合で説明を省く。

7. 絶対安定領域最大の公式群中打ち切り精度最高な公式 4. で述べたように打ち切り精度判定基準 A_{73} は、 $A_{73} = \gamma t_1^2 + \delta t_2^2$ と表すことができる。一方 t_1 はまた $t_1 = (2\rho_0 - 1) / 5060$ と表されるので、 ρ_0 を仮定し本元たとき打ち切り精度最高な公式は、 $t_2^2 = g(a_{44}, b_{444})^2$ を最小化するパラメータ a_{44}, b_{444} に対応する。その中で特に絶対安定領域最大の公式 ($\rho_0 = 0.626427$) を表 1 に示す。

謝辞 特性図は提携からいかどうかエクレアーリーで、FUKUI-WATANABE = our method

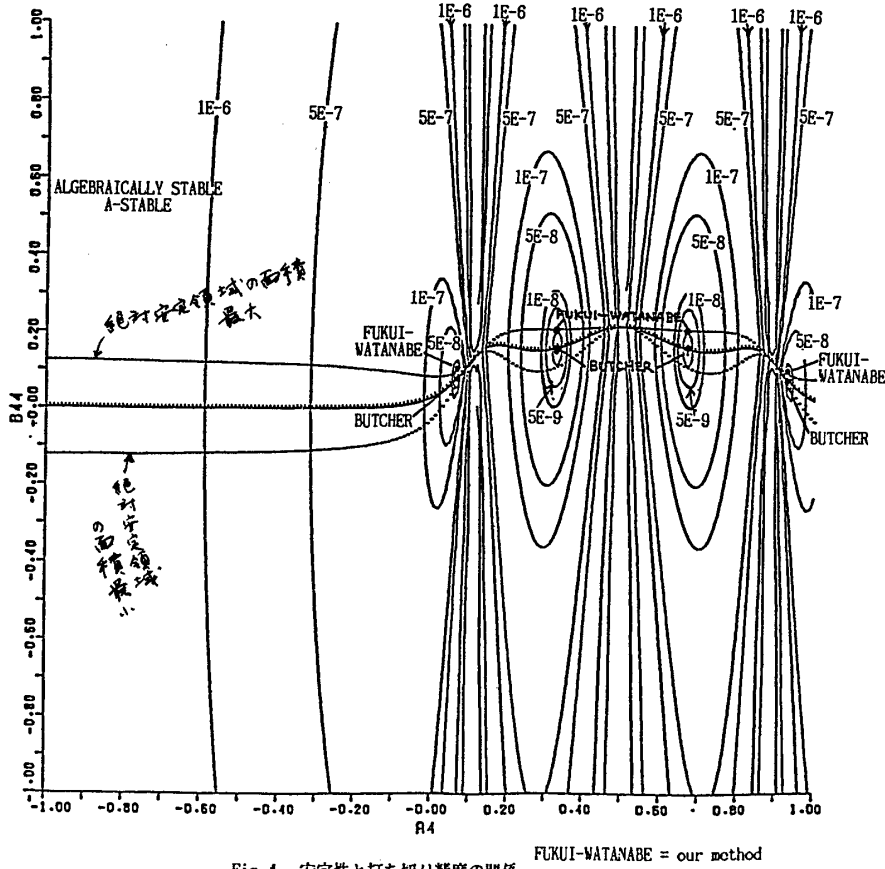


Fig. 1 安定性と打ち切り精度の関係

表 1 安定性、打ち切り精度が最も高い公式 (FUKUI-WATANABE の公式)

0.069431844202973	0.10157871763050	-0.063622457710523	0.049645740314929	-0.018170156031937
0.33000947820757	0.16837253304728	0.21304978236951	-0.077893922256341	0.026481085047122
0.66999052179243	0.18693750642677	0.30393951237988	0.21304978236951	-0.033936279383725
0.93056815579703	0.16286756590839	0.35046339236738	0.31565847989077	0.10157871763050
	0.17392742256873	0.32607257743127	0.32607257743127	0.17392742256873

文献

- 田中, 山下(忠), 高山, 山下, Runge-Kutta 法 (1988) 第二三の部題 12-112,
- II 2 段階 3 次階の Runge-Kutta 法の打ち切り精度と安定性の関係, 数理計算研究室所叢書第 585, p.54~p.62 (1986)
- 田中, 三村, 山下, 陰射

Runge-Kutta 法の特徴について, 数理計算研究室所叢書第 643, p.45~p.73 (1988)

3. Butcher, J. C., The Numerical Analysis of Ordinary Differential Equations (Runge-Kutta and general Linear Methods) John Wiley & Sons (1987)

4. Dekker, K. and Verwer, J.G., Stability of Runge-Kutta methods for stiff nonlinear differential equations, North-Holland (1984)